

МЕТОДЫ ОБРАБОТКИ СИГНАЛОВ И ИЗОБРАЖЕНИЙ

УДК 621.391.2

А. М. Искольдский

(Екатеринбург)

РАЗРАБОТКА И ИССЛЕДОВАНИЕ  
НОВЫХ МЕТОДОВ АНАЛИЗА РЕЗУЛЬТАТОВ НАБЛЮДЕНИЙ  
В ХАОТИЧЕСКОЙ ДИНАМИКЕ. Ч. I\*

Представлена методика обработки экспериментальных данных, полученных в результате аналого-цифровых измерений электрических сигналов. Определяются простейшие инварианты соответствующей сигналу последовательности символов.

**Введение.** Данная работа тесно связана с [1—4], в которых построен и исследуется ряд маломодовых динамических моделей начальных стадий прерывания электрического тока в проводящих сплошных средах. Существует стандартная техника получения подобных моделей: они возникают в результате редукции с помощью спектрального метода Галеркина правдоподобно поставленной краевой задачи для соответствующих уравнений в частных производных, описывающих динамику полей (в нашем случае поля скорости и магнитного поля) к конечномерной системе обыкновенных дифференциальных уравнений. С использованием этой техники можно получить целый спектр маломодовых (трех-, четырех-, пятимодовых и т. д.) моделей с совершенно различным асимптотическим поведением. В этой связи можно попытаться использовать результаты измерений одной из переменных динамической системы (например, осциллограммы тока) для того, чтобы облегчить выбор между равноправными с теоретической точки зрения моделями.

Большинство методов обработки экспериментальных данных строится в рамках предположения о том, что амплитудное разрешение измерительного устройства бесконечно велико, а реализация бесконечно длинная, хотя в действительности оба предположения неверны.

Качество получаемых в результате обработки сигнала оценок во многом зависит от того, насколько удачно выбран шаг квантования сигнала по времени. Имеется ряд рецептов, касающихся выбора указанного шага и борьбы с шумом [5, 6].

В теоретическом плане рассматриваемые вопросы связаны с проблемой существования в соответствующих нелинейных краевых задачах математической физики конечномерного аттрактора [7] и оценкой некоторых его инвариантов, в частности размерности вложения. Шумы квантования сигнала по времени и амплитуде иногда можно рассматривать как малые возмущения хаотических динамических систем [8].

**1. Модель измерительного устройства.** Рассмотрим упрощенную схему аналого-цифрового регистратора (АЦР). Она состоит из следующих блоков:

\* Работа выполнена при поддержке Российского фонда фундаментальных исследований (грант № 96-01-00214) в Институте электрофизики УрО РАН.

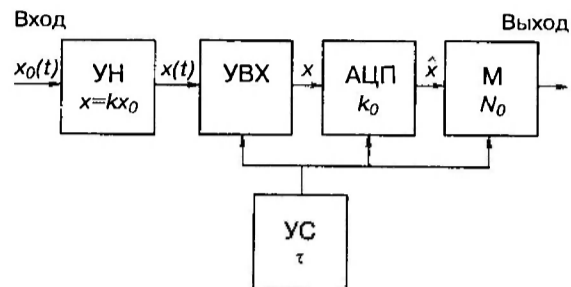


Рис. 1

устройства синхронизации (УС), устройства нормировки входного сигнала (УН), устройства выборки и хранения (УВХ), аналого-цифрового преобразователя (АЦП) и буферной памяти (М) (рис. 1).

На вход АЦП поступает непрерывный ограниченный по амплитуде входной сигнал  $x_0(t)$ . После выбора некоторого шага квантования сигнала по времени  $\Delta t$  устройство синхронизации формирует последовательность тактовых импульсов, возникающих в моменты времени  $t_i$  через равные интервалы:  $t_i = i\Delta t$ ,  $i = 0, \dots, N_0 - 1$ . Эта последовательность управляет УВХ, АЦП и памятью. Обычно  $\Delta t$  изменяется дискретно в диапазоне  $\Delta t \in [\Delta t_0, \Delta t_{\max}]$ . В данном рассмотрении  $x(t)$  — безразмерная величина, а  $\Delta t$  измеряется в единицах времени, например в секундах.  $\Delta t$  удобно характеризовать безразмерной величиной  $m_0 = \log \Delta t_{\max} / \Delta t_0$ . Здесь и далее логарифмирование производится по основанию два.

В первом приближении можно считать, что УВХ запоминает мгновенное значение  $x(t)$  — нормированного входного сигнала:

$$x(t) \rightarrow x(t_i), \quad (1)$$

так что на выходе УВХ имеет место последовательность

$$X = \{x(t_i)\}, \quad i = 0, \dots, N_0 - 1, \quad x(t_i) \in R, \quad (2)$$

$R$  — множество действительных чисел. УВХ хранит это значение до тех пор, пока аналого-цифровой преобразователь не сформирует  $k_0$ -разрядный двоичный код  $\hat{x}_i$ , отвечающий  $x(t_i)$ :

$$x(t_i) \rightarrow \hat{x}_i. \quad (3)$$

Без ограничения общности можно считать, что код  $\hat{x}_i$  есть натуральное число из диапазона  $[1, 2^{k_0}]$ ,  $k_0$  — разрядность АЦП:

$$\hat{X} = \{\hat{x}_i\}, \quad i = 0, \dots, N_0 - 1, \quad \hat{x}_i \in [1, 2^{k_0}] \subset N, \quad (4)$$

где  $N$  — множество натуральных чисел. В (4) целочисленный параметр  $i$  играет роль времени для  $\hat{X}$ .

Последовательность  $\hat{X}$  фиксируется в буферной памяти измерителя М. Величина  $p_0 = \log N_0$  характеризует разрядность адреса М.

Обычная форма представления данных — график, состоящий из точек с целочисленными координатами  $(i, x_i)$ , где  $x_i$  — натуральное число, соответствующее соответствующему коду из  $\hat{X}$ . Этот график может размещаться на прямоугольной решетке:

$$S_x = [0, N_0 - 1] \times [0, 2^{k_0}]. \quad (5)$$

Часто его называют *осциллограммой*, а  $(t, x_i)$  — *точками осциллограммы*.

Задача устройства нормировки, как правило, состоит в том, чтобы максимально использовать весь доступный диапазон кодов. Часто его параметры выбираются так, чтобы код максимального сигнала находился вблизи верхней границы диапазона:

$$2^{k_0-1} \leq \max \hat{x}_i < 2^{k_0}. \quad (6)$$

В основном используется лишь некоторая часть этого диапазона:  $k \leq k_0$ . Разрядность АЦП может принимать только целочисленные значения:  $k = 1, \dots, k_0$ . Как правило,  $p = p_0$ , однако ничто не мешает нам рассматривать меньшие значения  $p$ . При  $p = p_0 - 1$  из фиксированной выборки выделяется начальная ее половина, при  $p = p_0 - 2$  — половина от полученной ранее и т. д. В этом случае

$$p = 1, \dots, p_0. \quad (7)$$

В (7) параметр  $p$  есть разрядность адреса всей памяти  $M$  или ее части.

Для простоты будем считать, что и

$$m = 1, \dots, m_0, \text{ т. е. } \Delta t = \Delta t_0, 2\Delta t_0, \dots, 2^{m_0}\Delta t_0. \quad (8)$$

Произвольный режим измерений задается тройкой  $(p, k, m)$ , где  $m \leq m_0$ , а все возможные выборы ограничены параллелепипедом:

$$V_x = [1, p] \times [1, k] \times [1, m], \quad (9)$$

который вложен в

$$V_x^0 = [0, p_0] \times [0, k_0] \times [0, m_0]. \quad (10)$$

Параллелепипеды (9), (10) представляют собой трехмерные целочисленные решетки, шаг между узлами которых равен единице.

Далее компоненты  $X(t)$  будем помечать тремя нижними индексами:

$$X(t) = \| X(t) \|_{ijk}, \quad i = 0, \dots, p_0 - 1, \quad j = 0, \dots, k_0 - 1, \quad k = 0, \dots, m_0 - 1. \quad (11)$$

Примем, что выборка  $X_{000}$  отвечает минимальному  $\Delta t = \Delta t_0$ .

В определенном смысле  $X(t)$  содержит «всю информацию», которую можно получить из  $x_0(t)$  с помощью имеющихся измерительных средств.

2. Сжатие данных. В  $X_{ijk}$  могут встречаться последовательности («полки» длиной  $y_i$ ), состоящие из двух и более идущих подряд одинаковых чисел:

$$X_{ijk} = \{x_0, \dots, x_i = x_{i+1} = \dots = x_{i+(y_i-1)}, \dots, x_{N_0-1}\}_{ijk}. \quad (12)$$

Преобразуем  $X_{ijk}$  в последовательность упорядоченных пар  $Z_{ijk}$  согласно алгоритму

$$X_{ijk} \rightarrow Z_{ijk}. \quad (13)$$

- i) подсчитываем число повторений  $x_0$ , обозначаем его  $y_0$  и составляем пару  $z_0 = (x_0, y_0)$ ;
  - ii) первый  $x_i \neq x_0$  помещаем на первую позицию следующей пары, подсчитываем число его повторений  $y_1$  и составляем пару  $z_1 = (x_1, y_1)$ ;
  - iii) повторяем указанную выше процедуру до полного исчерпания  $X_{ijk}$ .
- Алгоритм [13] представляет собой простейший алгоритм сжатия данных.

В результате сжатия  $X_{ijk} \rightarrow Z_{ijk}$  упорядоченные последовательности натуральных чисел преобразуются в упорядоченные последовательности упорядоченных пар этих чисел.

Мы не знаем, сколько времени сигнал имел амплитуду  $x_0$  до начала измерений, а также сколько времени пройдет, прежде чем изменится  $x_{N-1}$ . На этом основании следует отбросить первую и последнюю пары в каждой из  $Z_{ijk}$ . Ниже речь будет идти в основном о таких (скорректированных) последовательностях.

Пусть для полного исчерпания  $X_{ijk}$  алгоритму понадобится  $N_{ijk}$  шагов, так что  $Z_{ijk}$  состоит из  $N_{ijk} \leq N_0$  пар:

$$Z_{ijk} = \{z_\tau\}_{ijk}, \quad \tau = 0, \dots, N_{ijk} - 1. \quad (14)$$

Очевидно то, что обратное отображение («раскрутка» сжатого) даст исходную выборку. В (14) целочисленный параметр  $\tau$  играет роль времени.

Если «полка» максимальной длины в конкретной  $Z_{ijk}$

$$2^{l-1} \leq L_{ijk} < 2^l, \quad (15)$$

то график  $Z_{ijk}$  задан на решетке

$$S_{ijk} = [1, 2^k] \times [1, 2^l], \quad (16)$$

т. е. каждой траектории  $Z_{ijk}$  отвечает своя область определения  $S_{ijk}$ .

Среди всех  $L_{ijk}$  существует максимальная  $L_0 = \max L_{ijk}$ , и для нее в неравенстве (15)  $l = l_0$ . Этому значению отвечает максимальная решетка, которая включает все остальные:

$$S_z = [0, 2^{k_0}] \times [0, 2^{l_0}]. \quad (17)$$

Траектория  $Z_{ijk}$  может посещать некоторые узлы решетки  $S_z$  многократно.

2.1. *Близость, отделимость.* Зафиксируем тривиальную близостную структуру ( $\delta$  — близость на  $S_z$ ), а именно будем считать:

i) две точки  $z_i, z_j \in S_z$  ( $i \neq j$ ) близкими и писать  $z_i \delta z_j$ , если одновременно  $x_i = x_j$  и  $y_i = y_j$ ;

ii) точку  $z_i$  и подмножество  $M_j \subseteq S_z$  близкими и писать  $z_i \delta M_j$ , если  $z_i \in M_j$ ;

iii) два подмножества  $M_i, M_j \subseteq S_z$  близкими, если их пересечение не пусто, т. е. они имеют хотя бы одну общую точку:  $M_i \delta M_j$ , если  $M_i \cap M_j \neq \emptyset$ .

Отметим, что по построению любая точка траектории любой из  $Z_{ijk} \subset S_z(\tau)$  не может быть близкой (по п. i) ни с кем из ближайших соседей, т. е. *отделима* от них.

2.2. *Измеримость.* Пусть

$$Z_{ijk} \text{ и } \Omega_{ijk} = \{\omega_\tau\}_{ijk}, \quad \tau = 0, \dots, N_{ijk} - 1, \quad (18)$$

— соответственно одна из траекторий и ее покрытие, т. е. каждая точка траектории (за исключением, может быть, нескольких начальных и (или) конечных) и соответствующий ей элемент покрытия близки (по п. ii из разд. 2.1):  $z_i \delta \omega_i$ .

Будем называть меру  $m(Z_{ijk}) \triangleq *m_{ijk}$  *внутренней*, а  $m(\Omega_{ijk}) \triangleq *m_{ijk}$  *внешней* и считать траекторию *измеримой* (по отношению к  $m$ ), если  $*m \cong *m$ . Уточним изложенное.

Из  $*m_{ijk}, *m_{ijk}$  можно составить величины

$$p_1 = *m_{ijk} / (*m_{ijk} + *m_{ijk}) \text{ и } p_2 = *m_{ijk} / (*m_{ijk} + *m_{ijk}) \quad (19)$$

и ввести критерий

$$H_{ijk}^m = -(p_1 \log p_1 + p_2 \log p_2), \quad (20)$$

равный единице при строгом равенстве  $*m_{ijk} = *m_{ijk}$ . Зададим некоторую константу  $C^m \leq 1$  и будем считать  $Z_{ijk}$  измеримой (в отношении  $m$  по критерию (20) с уровнем значимости  $C^m$ ), если  $H_{ijk}^m \geq C^m$ .

Имеет смысл выделить «жесткий» случай:  $C^m = 1, H_{ijk}^m = 1$ , когда выборка считается измеримой при строгом равенстве внутренней и внешней мер, хотя это требование нельзя рассматривать как обязательное.

2.3. *Кратность выборки.* Рассмотрим ту точку (точки) решетки, которая посещается траекторией чаще всего. Количество этих посещений равно максимальному числу одинаковых пар в выборке. Каждую такую пару можно интерпретировать как покрытие минимальной мощности (под мощностью покрытия мы понимаем число точек покрывающего множества). Примем указанное число в качестве внутренней меры для кратности выборки:

$$*m_{ijk} = *D_{ijk}. \quad (21)$$

В основу конструирования внешней меры

$$*m_{ijk} = *D_{ijk} \quad (22)$$

положим тот факт, что любая точка траектории отделима от ближайших соседей (см. разд. 2.1). Это дает возможность с каждой из них связать прямоугольник (в общем случае состоящий из более чем одной точки) такой, что он также отделен от ближайших соседей. Число прямоугольников, содержащих наиболее часто посещаемую точку, примем в качестве внешней меры кратности выборки. Оно не меньше максимального числа одинаковых пар в выборке, так как в общем случае рассматриваемая точка может быть покрыта и другими прямоугольниками, не связанными с указанными выше парами.

Если  $*D_{ijk} \approx *D_{ijk}$ , то будем считать выборку  $Z_{ijk}$  (или  $X_{ijk}$ ) измеримой в отношении такой меры, как кратность  $D_{ijk}$ .

2.4. *Построение отделимых покрытий.* Пусть заданы три точки траектории:  $z_{t-1}, z_t, z_{t+1} \in Z_{ijk}$ . Рассмотрим в качестве примера процедуру построения максимального по мощности\* прямоугольного покрытия  $\omega_t$ , связанного с  $z_t$  и отделимого от соседей:

$$\omega_t \bar{\delta} \omega_{t-1}, \omega_t \bar{\delta} \omega_{t+1}. \quad (23)$$

В основу процедуры положен принцип «равноправия», согласно которому интервал между проекциями точек траектории на координатные оси делится между этими точками поровну. Построение сводится к определению координаты левого нижнего  $(x_t^{00}, y_t^{00})$  и правого верхнего  $(x_t^{11}, y_t^{11})$  углов прямоугольника  $\omega_t$ , а также правого верхнего угла  $\omega_{t-1}$   $(x_{t-1}^{11}, y_{t-1}^{11})$  и левого нижнего  $\omega_{t+1}$   $(x_{t+1}^{00}, y_{t+1}^{00})$ .

Пусть задано следующее расположение трех точек:

$$x_{t-1} < x_t < x_{t+1}, \quad y_{t-1} < y_t < y_{t+1}.$$

В зависимости от того, каким числом (четным или нечетным) является модуль разности между соответствующими проекциями, несколько изменяется алгоритм определения координат интересующих нас углов. Если  $\Delta =$

\* Вернее, близкого к максимальному.

Если  $|x_t - x_{t-1}|$  четное, то  $x$ -координату соответствующих углов определяем по формулам

$$x_t^{00} = x_t - (\Delta/2 - 1), \quad x_{t-1}^{11} = x_{t-1} + (\Delta/2 - 1). \quad (24)$$

Если  $\Delta$  нечетное, то

$$x_t^{00} = x_t - \Delta \text{div} 2, \quad x_{t-1}^{11} = x_{t-1} + \Delta \text{div} 2. \quad (25)$$

В (25)  $\Delta \text{div} 2$  означает деление  $\Delta$  на два с округлением в нижнюю сторону до ближайшего целого. Аналогично находим все нужные нам координаты.

При  $\Delta \leq 2$  соответствующие слагаемые в (24), (25) следует положить равными нулю.

В том случае, когда  $\Delta$  нечетное, перегородка между проекциями тонкая (не содержит ни одного целого числа). При  $\Delta$  четном между соответствующими проекциями лежит один «пустой» узел, и из-за этого мощность построения покрытия оказывается несколько ниже максимальной.

При отличном от рассмотренного расположении трех ближайших точек траектории  $z_t$  может не быть внутренней точкой  $\omega_t$ . Она может лежать на его границах, в углах. Сам прямоугольник будет вырождаться в действительности в одну точку.

Рис. 2 иллюстрирует процесс построения отделимого покрытия, близкого к максимальному по мощности, согласно (24), (25).

Окончательно имеем

$$\Omega_{ijk} = \{\omega_\tau\}_{ijk}, \quad \tau = 1, \dots, N_{ijk} - 2. \quad (26)$$

В (26)  $\tau$  изменяется от 1 до  $N_{ijk} - 2$  в связи с тем, что первая и последняя точки  $Z_{ijk}$  в отличие от других имеют лишь по одному соседу и для них нельзя построить покрытие по описанному алгоритму. В обозначениях разд. 2.3

$$*D_{ijk} = D(Z_{ijk}), \quad *D_{ijk} = D(\Omega_{ijk}).$$

Положим  $C^D = 1$ . Этому значению  $C^D$  отвечают только те тройки (если таковые найдутся)  $(ijk)_{\text{опт}}$ , в которых  $*D = *D$ . Критерий  $H_{ijk}^D$  в этих точках равен единице. В выборках  $Z_{ijk}$ , отвечающих таким критериальным требо-

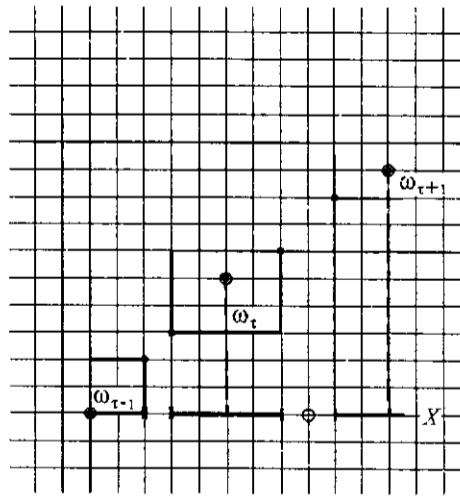


Рис. 2

ваниям ( $C^D = 1$ ,  $H_{ijk}^D = 1$ ), траектория попадает в наиболее посещаемую точку  $z_{ijk}^{opt}$  лишь из близлежащих\* и покидает ее только через них.

Можно потребовать, чтобы детерминированность выборки ( $*D = *D$ ) была бы в определенном смысле *устойчивым* ее свойством. Ниже рассмотрим, что понимается под устойчивостью к малым деформациям траектории  $Z_{ijk}$  в  $S_z$ .

3. **Покрывание минимальной площади. Устойчивость.** Ниже речь идет о построении покрытия точки траектории, состоящего из четырех точек, расположенных в углах прямоугольника единичной площади, таких, что одна из них является исходной. При определенных условиях можно говорить о четырех траекториях, переходящих друг в друга при элементарных трансляциях, так что все трансляционно-инвариантные меры на них равны. С учетом того, что исходная траектория не выходит за пределы, ограниченные четверкой, можно одну из траекторий четверки рассматривать как малое возмущение исходной и говорить об устойчивости в том случае, когда соответствующие свойства исходной и возмущенной траекторий близки.

Определим многозначное отображение  $\delta^{-1}$  для любого кода  $x$  как неупорядоченную пару  $s \triangleq (x^0, x^1)$ , в которой:

$$x^0 \text{ есть код, полученный из } x \text{ заменой младшего разряда на } 0, \quad (27)$$

$$x^1 \text{ есть код, полученный из } x \text{ заменой младшего разряда на } 1. \quad (28)$$

В покрытии (тройке)

$$(x, s, \delta), \text{ где } \delta \text{ определена согласно п. ii из разд. 2.1,} \quad (29)$$

$s$  представляет собой *покрывающее*, а  $x$  — *покрываемое* множество.

**Пример.** Рассмотрим одну из первичных выборок (с фиксированным третьим индексом), например  $X_{00k}$ . Она является покрытием для самой себя, а также для любого своего начального участка, который можно получить из  $X_{00k}$  сдвигом по первому индексу, в частности, для  $X_{10k}$  — своей начальной половины. Если по отношению к каждому из кодов  $X_{00k}$  применить (27), (28), получим последовательность пар:  $\tilde{S}_{00k} = (X_{00k}^0, X_{00k}^1)$ . В данном случае  $\tilde{S}_{00k}$  — покрывающее множество, а  $X_{00k}$  — покрываемое.

В  $S_x$  исходная траектория не выходит за пределы, ограниченные парой. Кроме того, одна из траекторий покрытия переходит в другую за счет сдвига на один шаг по вертикали. В этой связи все трансляционно-инвариантные меры на обеих траекториях покрытия совпадают.

Применим (27), (28) к обеим компонентам произвольной точки траектории  $z_\tau = (x, y)$ . В результате получим четверку

$$\tilde{z}_\tau \triangleq (x^0, y^0)(x^0, y^1)(x^1, y^0)(x^1, y^1). \quad (30)$$

Точки, представленные ею, располагаются в углах прямоугольника единичной площади. Одна из пар (30) совпадает с исходной, так что  $\tilde{z}_\tau$  покрывает  $z_\tau$ .

Применив рассмотренную процедуру ко всем точкам траектории  $Z_{ijk}$ , получим для нее покрытие  $\tilde{Z}_{ijk} = \{\tilde{z}_\tau\}_{ijk}, \tau = 0, \dots, N_{ijk} - 1$ .

\* Строго говоря, мы не можем использовать термин «близлежащие», поскольку не зафиксирована метрика (близость по разд. 2.1 таковой не является).

4. Траектории в  $S_z^n$ . Каждая пара  $z_t = (x_t, y_t)$ , входящая в  $Z_{ijk}$ , представляет собой точку в  $S_z$ , а пара пар  $z_t^z = (z_t, z_{t+1})$  — точку в решетке  $S_z^z = S_z \times S_z$ . Цепочка из  $n$  последовательно идущих пар

$$z_t^n = \{z_t, z_{t+1}, \dots, z_{t+n}\} \quad (31)$$

представляет собой точку в решетке

$$S_z^n = \underbrace{S_z \times \dots \times S_z}_n \quad (32)$$

$n$  сомножителей

Из первичной траектории  $Z_{ijk} \subset S_z$  можно сформировать  $Z_{ijk}^2 \subset S_z^z, \dots, Z_{ijk}^n \subset S_z^n$ , каждая из которых состоит из  $n$  последовательно идущих точек исходной:

$$Z_{ijk}^n = \{(z_0 \dots z_n)_0 \dots (z_i \dots z_{i+n})_i \dots (z_{N-i} \dots z_N)_{N-i}\}. \quad (33)$$

В последовательности (33) число членов на  $n$  меньше, чем в исходной, а  $N = N_{ijk}$ .

Максимальное число одинаковых  $n$ -ок в  $Z_{ijk}^n$  представляет собой  $D_{ijk}^n$ -кратность соответствующей выборки.

По построению каждая из последующих  $Z_{ijk}^{n+1}$  представляет собой покрытие для всех предыдущих, в том числе и для  $Z_{ijk}^n$ .

4.1. Локальная размерность вложения выборки. Положив

$$*m = \bar{D}_{ijk}^n \text{ и } *m = D_{ijk}^{n+1}, \quad (34)$$

определим локальную размерность вложения выборки  $Z_{ijk}$  как то минимальное  $n \stackrel{\Delta}{=} \dim^L Z_{ijk}$ , при котором  $\bar{D}_{ijk}^n = D_{ijk}^{n+1}$ .

Критерий

$$H_{ijk}^{nL} = -(p_1 \log p_1 + p_2 \log p_2), \quad (35)$$

где  $p_1 = D^n / (D^n + D^{n+1})$ ,  $p_2 = D^{n+1} / (D^n + D^{n+1})$ , и число  $C^{nL} < 1$  определяют нужную нам размерность как то минимальное  $n$ , при котором  $H_{ijk}^{nL} \geq C^{nL}$ .

При жестких требованиях ( $C^{nL} = 1$ ,  $H^{nL} = 1$ ) в качестве локальной размерности вложения детерминированной выборки называется такое минимальное  $n$ , при котором кратности  $\bar{D}(Z_{ijk}^n)$  и  $D(Z_{ijk}^{n+1})$  равны друг другу.

Выше мы рассмотрели круг вопросов, так или иначе связанных с ограничением на  $\Delta t_0$  сверху (объем памяти измерителя фиксирован).

Во II части статьи мы коснемся ограничений на  $\Delta t_0$  снизу и приведем результаты обучения классификационных процедур на прецедентах, связанных с хорошо исследованными моделями детерминированного хаоса.

Автор признателен К. Е. Боброву за проведение численных экспериментов и Н. Б. Волкову за полезные дискуссии.



#### СПИСОК ЛИТЕРАТУРЫ

1. Волков Н. Б., Искольдский А. М. Об аналогии между начальными стадиями зарождения турбулентности и электрического взрыва проводников // Письма в ЖЭТФ. 1990. 51. С. 560.
2. Волков Н. Б., Зубарев Н. М. Модель начальной стадии ламинарно-турбулентного перехода в токонесящей плазмоподобной среде // ЖЭТФ. 1995. 107. С. 1868.
3. Волков Н. Б., Зубарев Н. М., Искольдский А. М. Стратификация жидкометаллического проводника с током: эксперимент, модель // ЖЭТФ. 1996. 109. С. 429.
4. Iskoldsky A., Volkov N., Zubareva O. The dynamics of large-scale structures in current-carrying fluids and the electric explosion of conductors // Physica D. 1996. 91. P. 182.
5. Abarbanel H. D. I., Brown R., Kadtke J. V. Prediction in chaotic nonlinear systems: Methods for time series with broadband Fourier spectra // Phys. Rev. A. 1990. 41(4). P. 1782.
6. Grossberger P. Nonlinear time analysis // Int. J. of Bifurcations and Chaos. 1991. 1. P. 52.
7. Чуешов И. Д. Глобальные аттракторы в нелинейных задачах математической физики // УМН. 1993. 48, вып. 3. С. 291.
8. Бланк М. Л. Малые возмущения хаотических динамических систем // УМН. 1989. 44, вып. 6. С. 1.

*Поступила в редакцию 28 июня 1996 г.*

---

**Реклама продукции в нашем журнале — залог Вашего успеха!**